

# Chapitre 3

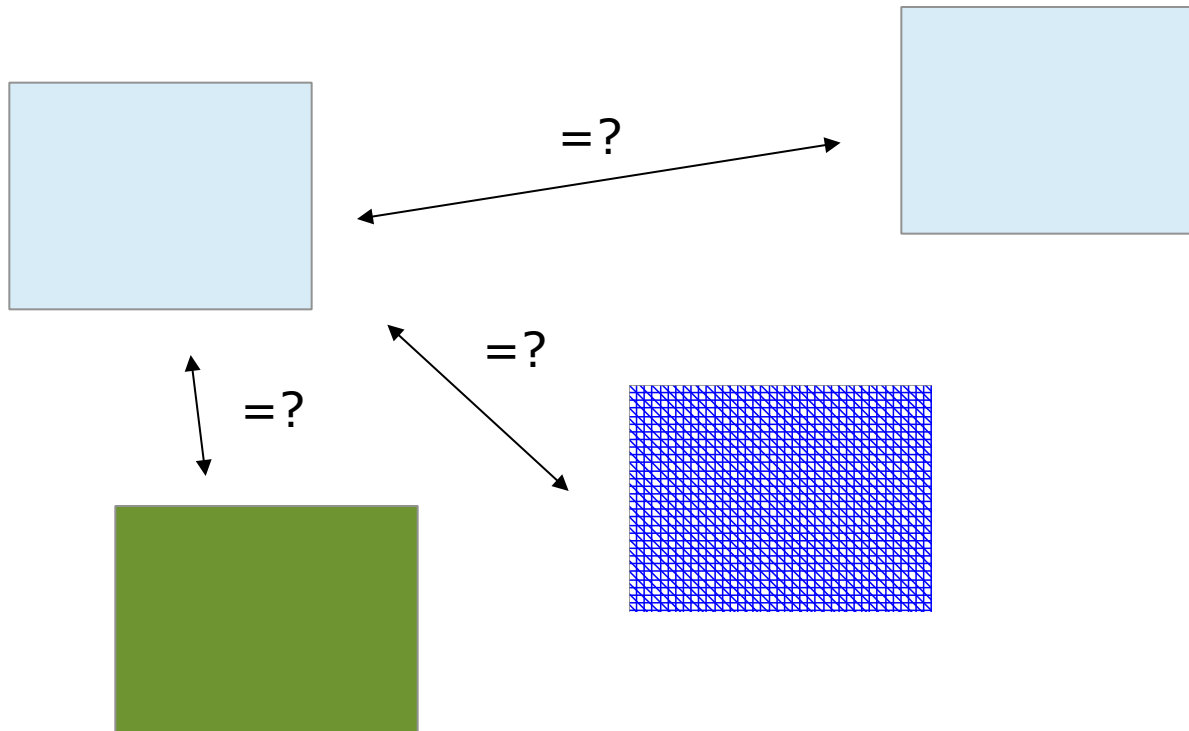
---

Description de régions d'intérêt  
dans les séquences  
vidéo: Descripteurs de base

# Pourquoi décrire une région ?

---

- Pour trouver des correspondances entre les objets



# Pourquoi décrire une région ?

---

- ❑ Pour trouver des correspondances entre les objets
  - En suivi, pour trouver la trajectoire d'un objet;
  - En reconnaissance d'objets, pour trouver un objet ayant une apparence donnée;
  - En reconnaissance d'actions/de poses pour identifier des gestes.
  
- ❑ Quel est le lien avec le chapitre précédent?
  - Les segments obtenus sont décrits pour réaliser un des trois objectifs ci-dessus.

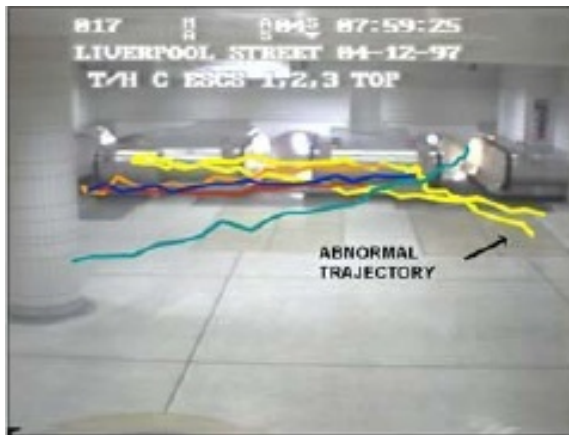
# Pourquoi décrire une région ?

---

- ❑ Correspondance en suivi d'objets
  - Objectif: Déterminer la trajectoire ou l'identité d'un objet.
  - Exemple:
    - ❑ Trouve les objets en mouvement par soustraction d'arrière-plan.
    - ❑ Utilise le recouvrement des objets d'une image à l'autre pour faire une correspondance temporelle.
    - ❑ Validation par l'apparence des objets.

# Pourquoi décrire une région ?

- ❑ Suivi d'objets (suite)
  - ❑ Trouve le centroïde des objets.
  - ❑ La trajectoire est formée en reliant les centroïdes successifs d'un même objet.



# Pourquoi décrire une région ?

---

## □ Suivi d'objets

### ■ Exemple:

- Suivi des participants d'une réunion.
- Recherche de la tête (Une ellipse de couleur peau déterminée par apprentissage).
- Recherche exhaustive dans les régions ayant la bonne couleur pour trouver les paramètres de l'ellipse.
- Couleurs modélisées par histogramme.

# Pourquoi décrire une région ?

## □ Suivi d'objets (suite)

- Trouve la prochaine position de l'ellipse de la tête par méthode statistique (filtre de particules). Pas de soustraction d'arrière-plan.



# Pourquoi décrire une région ?

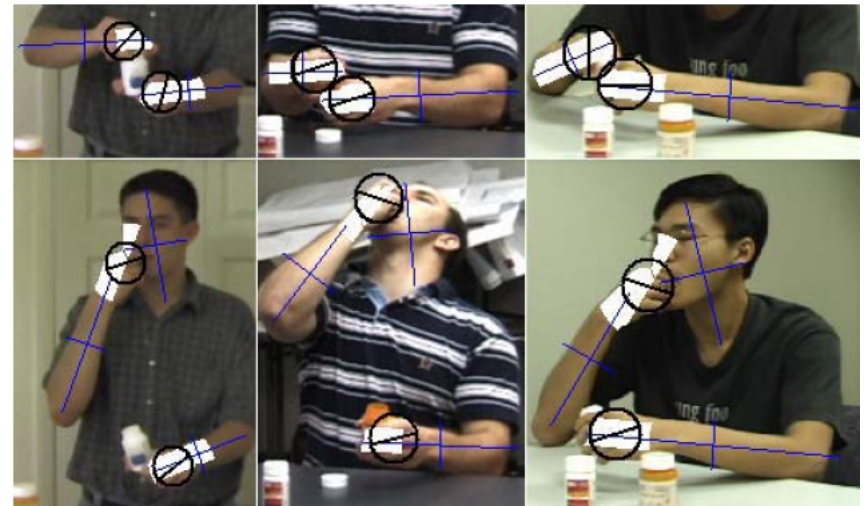
---

- ❑ Détection de prise de médicaments
  - Objectif: Déterminer si une personne a pris ses médicaments.
  - Exemple:
    - ❑ Détection des régions de peau.
    - ❑ Modélisation des régions par des ellipses. La dimension permet de différencier les mains du visage.
    - ❑ Détection des yeux et de la bouche.



# Pourquoi décrire une région ?

- ❑ Détection de prise de médicaments (suite)
  - ❑ Détection des bouteilles de médicaments par extraction d'arêtes et par leur forme.
  - ❑ Détection de la trajectoire des mains et des bouteilles.



# Plan du chapitre

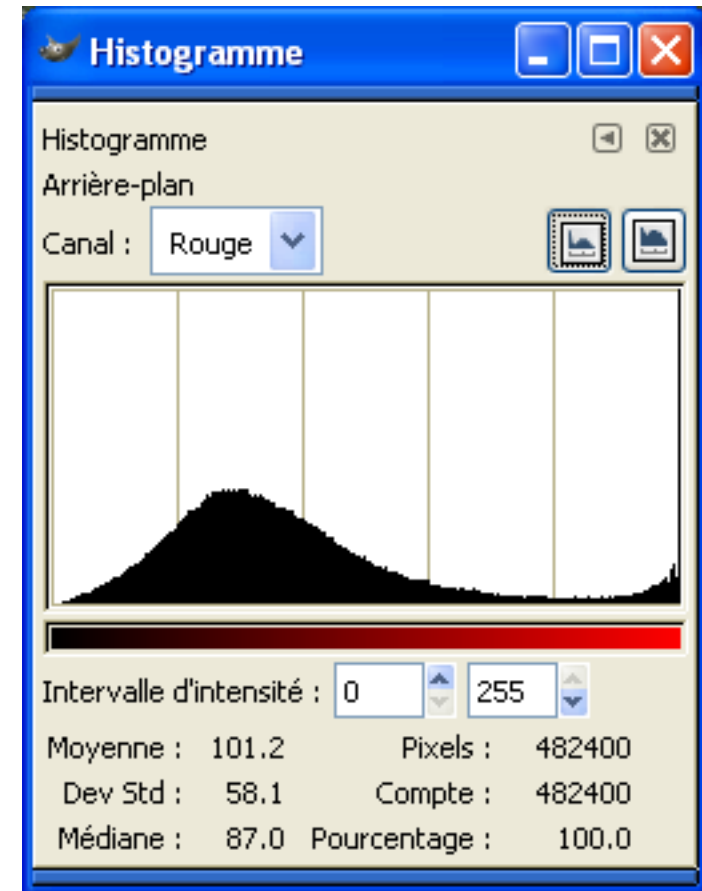
---

## Modèles d'apparence

- Couleur
  - Histogramme
  - RGB vs HSV
  - Comparaison d'histogrammes
- Texture
  - Arêtes
  - Banque de filtres
  - Matrice de co-occurrences
- Forme
  - Moments

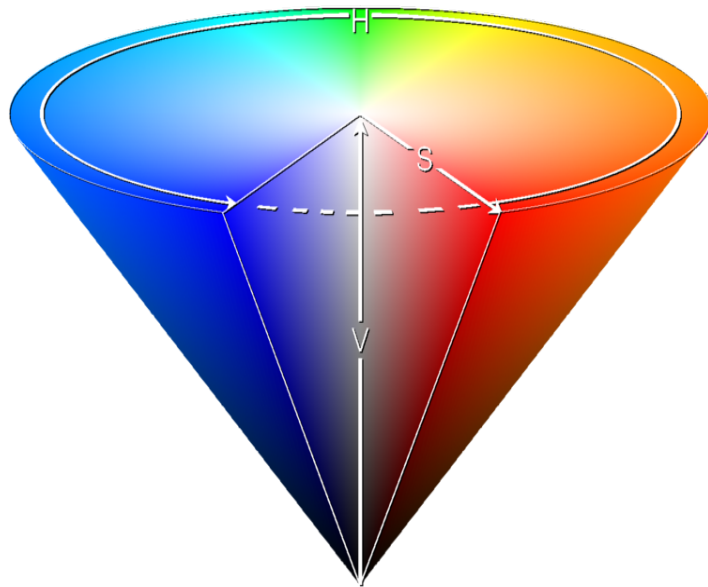
# Modèle d'apparence: couleur

- ❑ Modélisation de la couleur:
  - Typiquement par un histogramme.
  - Calcule le nombre d'occurrences de chaque couleur (ou classe) dans l'image.
  - Trois histogrammes pour chaque canal de couleur (RGB, HSV, etc.), peut être concaténés en un histogramme.
  - Exemple MATLAB: CalcHisto.m



# Modèle d'apparence: couleur

## □ HSV vs RGB



Source: Wikipedia

$$H \in [0, 360)$$

$$S, V, R, G, B \in [0, 1]$$

From RGB to HSV:

Let  $MAX$  equal the maximum of the  $(R, G, B)$  values, and  $MIN$  equal the minimum of those values.

$$H = \begin{cases} \text{undefined,} & \text{if } MAX = MIN \\ 60 \times \frac{G-B}{MAX-MIN} + 0, & \text{if } MAX = R \\ & \text{and } G \geq B \\ 60 \times \frac{G-B}{MAX-MIN} + 360, & \text{if } MAX = R \\ & \text{and } G < B \\ 60 \times \frac{B-R}{MAX-MIN} + 120, & \text{if } MAX = G \\ 60 \times \frac{R-G}{MAX-MIN} + 240, & \text{if } MAX = B \end{cases}$$

$$S = \begin{cases} 0, & \text{if } MAX = 0 \\ 1 - \frac{MIN}{MAX}, & \text{otherwise} \end{cases}$$

$$V = MAX$$

# Modèle d'apparence: couleur

---

- ❑ Caractéristiques des histogrammes:
  - Relativement invariant:
    - ❑ Translations;
    - ❑ Rotations dans l'axe de l'image;
    - ❑ Changements d'échelle;
    - ❑ Occlusions partielles.
- ❑ Comment les comparer ?
  - Intersection
  - Distance

# Modèle d'apparence: couleur

---

## □ Intersection d'histogrammes

- Vérifie la qualité de l'inclusion de l'histogramme modèle  $h_M$  dans l'histogramme image  $h_i$ .
- Il y a correspondance si tous (ou presque) les pixels des  $K$  classes de l'histogramme  $h_M$  sont inclus dans les  $K$  classes de l'histogramme  $h_i$ .

$$\text{Intersection}(h_i, h_m) = \sum_{j=1}^K \min(h_i[j], h_m[j])$$

$$\text{Correspondance}(h_i, h_M) = \frac{\sum_{j=1}^K \min(h_i[j], h_m[j])}{\sum_{j=1}^K h_M[j]}$$

# Modèle d'apparence: couleur

---

## □ Distance entre deux histogrammes

- Vérifie la similitude de deux histogrammes.
- Considère un histogramme comme un vecteur.
- Attention, calcule le nombre de différences, et non pas leurs importances ou leurs distributions...

- City block (Norme L1)

$$D_1(h_i, h_M) = \sum_{j=1}^K |h_i[j] - h_M[j]|$$

- Euclidienne (Norme L2)

$$D_2(h_i, h_M) = \sqrt{\sum_{j=1}^K (h_i[j] - h_M[j])^2}$$

# Modèle d'apparence: couleur

---

- Distance entre deux histogrammes
  - Considère un histogramme comme une distribution discrète de probabilités.
  - Attention, calcule le nombre de différences, et non pas leurs importances ou leur distributions...
  - Bhattacharyya

$$D(h_i, h_M) = -\log \sum_{j=1}^K \sqrt{P(h_i[j])P(h_M[j])}$$

- Exemple MATLAB: dbat.m



# Modèle d'apparence: couleur

---

- Distance entre deux histogrammes
  - Considère un histogramme comme un vecteur.
  - Prix minimum pour passer d'une distribution à une autre.
  - Minimum difference of pair assignments (MDPA)

$$D(h_i, h_M) = \sum_{j=0}^{K-1} \left| \sum_{k=0}^j (h_i[k] - h_M[k]) \right|$$

- Exemple MATLAB: MDPA.m

# Modèle d'apparence: texture

---

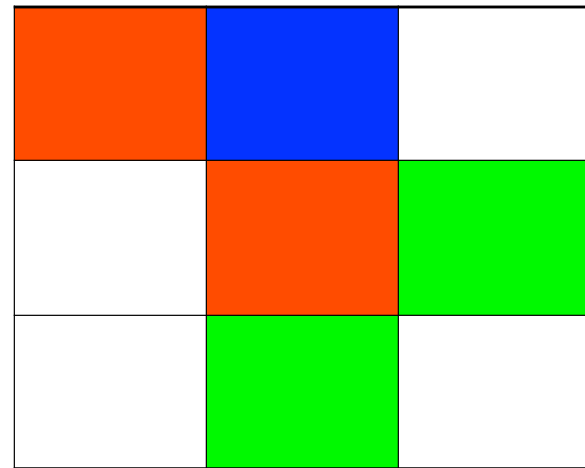
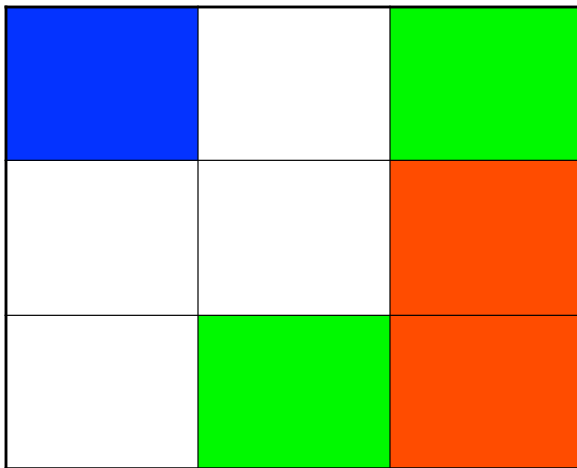
- ❑ Histogramme d'orientation des arêtes
- ❑ Densité des arêtes
- ❑ Banque de filtres
  - Filtres de Gabor
- ❑ Matrice de co-occurrences

# Modèle d'apparence: texture

---

## □ Texture: Pourquoi ?

- La modélisation par histogramme n'est pas précise, car la position des couleurs n'est pas prise en compte.



# Modèle d'apparence: texture

---

## □ Texture: Pourquoi ?

- Modélisation par texture est plus précise, car elle prend en compte la position relative des couleurs directement ou indirectement.
- Par contre, plus long à calculer.

# Modèle d'apparence: texture

---

## □ Texture basé sur les arêtes

- Le gradient est calculé par une convolution entre un filtre et l'image.
- Par exemple: Filtre de Sobel
- Ensuite, on seuille pour obtenir les arêtes.
- Des noyaux utilisés couramment sont ceux de Sobel:

$$G_x = \begin{bmatrix} 1 & 0 & -1 \\ 2 & 0 & -2 \\ 1 & 0 & -1 \end{bmatrix} * I \quad G_y = \begin{bmatrix} 1 & 2 & 1 \\ 0 & 0 & 0 \\ -1 & -2 & -1 \end{bmatrix} * I$$

# Modèle d'apparence: texture

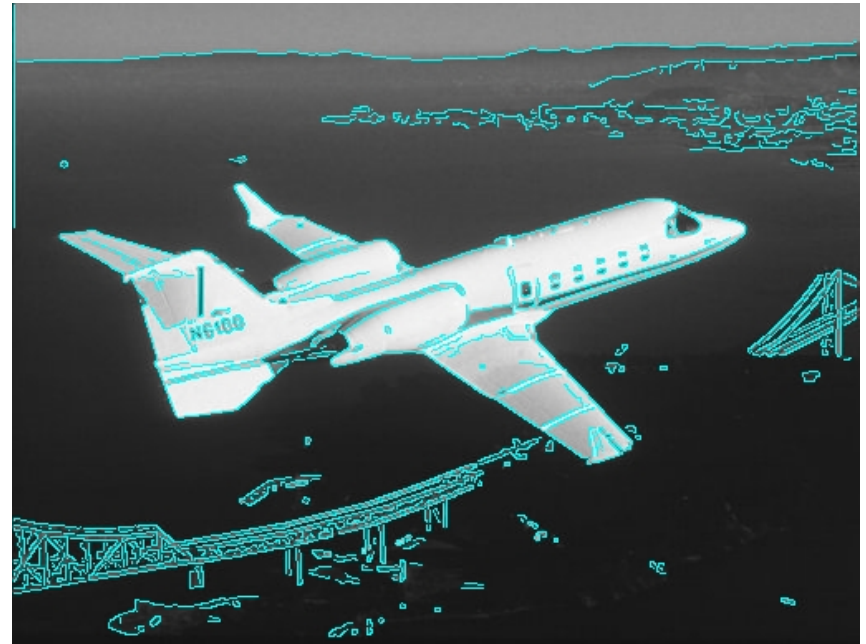
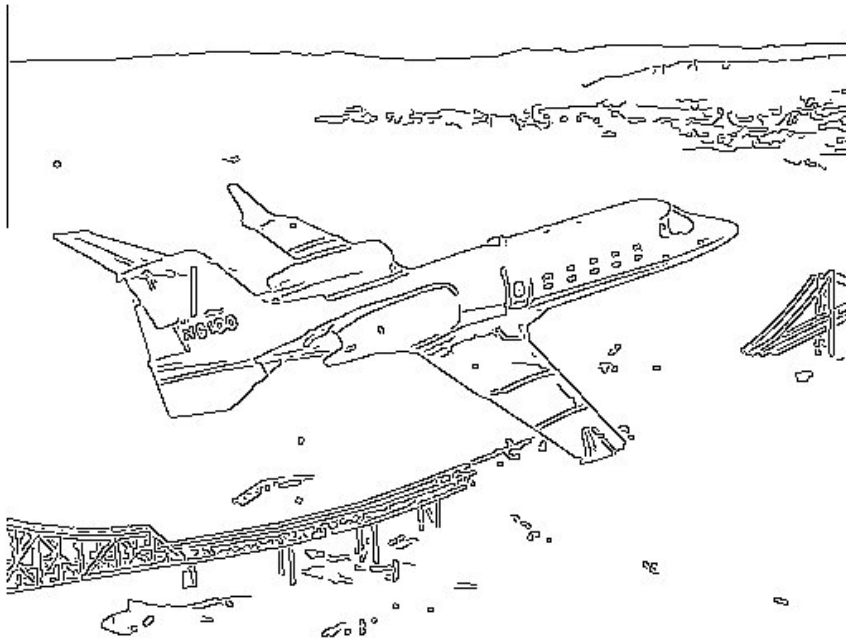
---

- ▣ La convolution en 2D est définie pour  $G_x$  comme:

$$G_x(x, y) = \sum_{i=-1}^1 \sum_{j=-1}^1 Sobel_x(i, j) I(x-i, y-j)$$

# Modèle d'apparence: texture

- ❑ Exemple d'arêtes extraites après un seuillage.



- Exemple MATLAB: Edge2.m

# Modèle d'apparence: texture

---

- ▣ Une première méthode de modélisation de texture utilisant les arêtes est l'histogramme de l'orientations des gradients.
- ▣ Cet histogramme est construit par la fréquence de chaque angle quantifié, l'angle étant calculé par

$$\theta = \arctan\left(\frac{G_y}{G_x}\right)$$



# Modèle d'apparence: texture

---

- La force (norme) des gradients est utilisée pour pondérer les fréquences:

$$F_G = \sqrt{G_x^2 + G_y^2}$$

- Donc, un angle qui correspond à un gradient ayant une force plus élevée aura plus d'importance dans le calcul du nombre d'occurrences.
- Exemple: Si  $F_G=20$ , on compte 2 occurrences, si  $F_G=50$ , on compte 5 occurrences, etc. Donc, pas 1 angle, 1 vote.

# Modèle d'apparence: texture

---

- Deuxième façon: Densité des arêtes
  - Nombre d'arêtes  $p$  dans une région  $R$  de  $N$  pixels (occupation):

$$F_{occupation} = \left| \left\{ \frac{p | Mag(p) \geq T}{N} \right\} \right|$$

- Densité + orientation: histogrammes normalisés des magnitudes et des orientations des arêtes de la région  $R$  de  $N$  pixels.

$$F_{densité/orientation} = (H_{mag}(R), H_{ori}(R))$$

# Modèle d'apparence: texture

---

## □ Banque de filtres

### ■ Barres et taches:

- Si une région d'image a une distribution spatiale semblable au filtre, la réponse de la convolution avec le filtre sera grande.
- Typiquement, on utilise plusieurs filtres dont certains détectent des barres à différentes échelles et orientations et certains détectent des taches.
- On peut obtenir ces filtres en combinant des filtres gaussiens.
  - Tache: Somme de 3 gaussiennes symétriques avec des écart-types différents.

# Modèle d'apparence: texture

- Banque de filtres
  - Barres et taches:

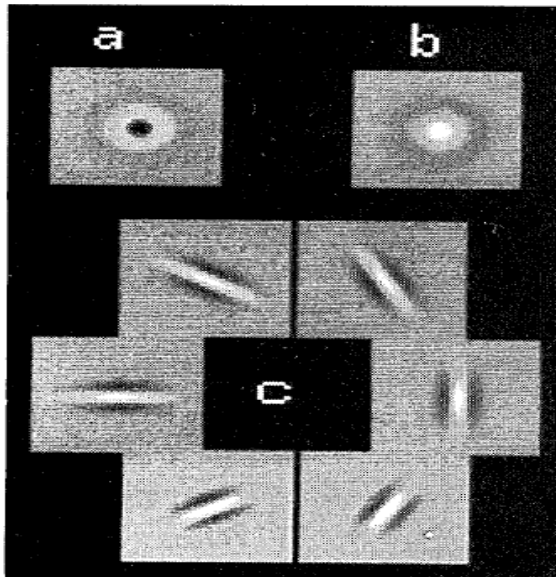


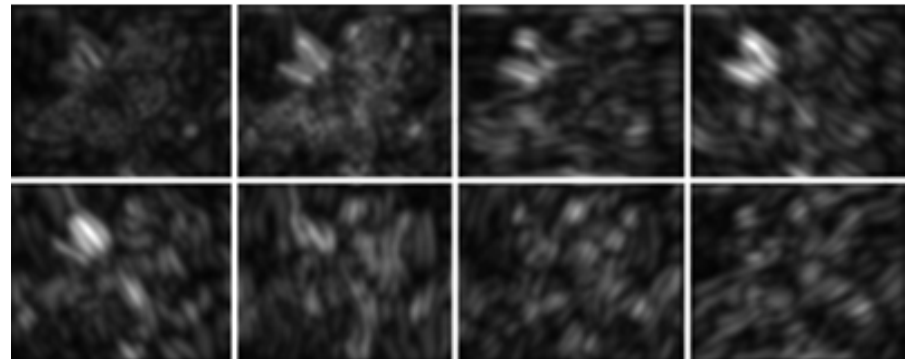
Fig. 2. Point-spread functions of some of the filters used in our simulation. The filters were designed after Young<sup>25</sup> by summing Gaussian functions  $G(x_0, y_0, \sigma_x, \sigma_y) \doteq 1/2\pi\sigma_x\sigma_y \exp\{-(x - x_0/\sigma_x)^2 + (y - y_0/\sigma_y)^2\}$  and have zero-mean value. a, Linear combination of three circular concentric Gaussian functions,  $\text{DOG2}(\sigma) \doteq a \cdot G(0, 0, \sigma_i, \sigma_i) + b \cdot G(0, 0, \sigma, \sigma) + c \cdot G(0, 0, \sigma_o, \sigma_o)$  with variance  $\sigma_i:\sigma:\sigma_o$  in a ratio of 0.62:1:1.6 and  $a:b:c$  in a ratio of 1:-2:1. b, Linear combination of two circular concentric Gaussian functions,  $\text{DOG1}(\sigma) \doteq a \cdot G(0, 0, \sigma_i, \sigma_i) + b \cdot G(0, 0, \sigma_o, \sigma_o)$ , with variance  $\sigma_i:\sigma:\sigma_o$  in a ratio of 0.71:1:1.14 and coefficients  $a:b$  in a ratio of 1:-1. c, Linear combination of three offset identical Gaussian functions  $\text{DOOG2}(\sigma, r, \theta) \doteq a \cdot G(0, y_a, \sigma_x, \sigma_y) + b \cdot G(0, y_b, \sigma_x, \sigma_y) + c \cdot G(0, y_c, \sigma_x, \sigma_y)$ . Variances are  $\sigma_y = \sigma, \sigma_x = r \cdot \sigma$ , offsets are  $y_a = -y_c = \sigma, y_b = 0$ , and coefficients are  $a:b:c$  in a ratio of -1:2:-1 for the filter with an axis of symmetry along the  $x$  direction ( $\theta = 0$ ). The other  $\text{DOOG2}()$  filters are obtained by rotation about the center of the middle Gaussian. The scaling coefficients  $a_{\text{DOG1}}:a_{\text{DOG2}}:a_{\text{DOOG2}}$  were in a ratio of 3:4.15:2, which was designed to equalize the dynamic range of the respective responses.

# Modèle d'apparence: texture

- Banque de filtres

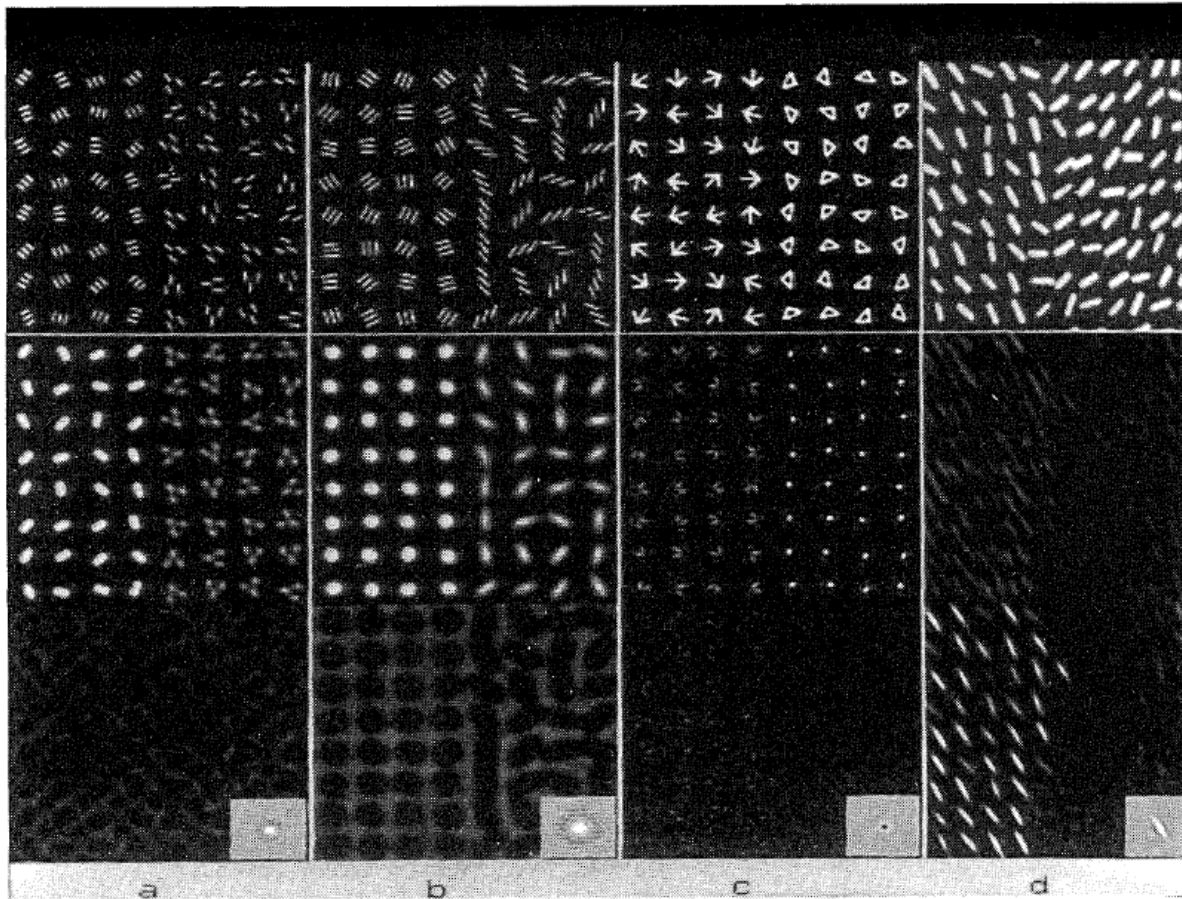
- Barres et taches:

- Exemple MATLAB:  
*tache.m*



# Modèle d'apparence: texture

- Banque de filtres
  - Barres et taches:



# Modèle d'apparence: texture

---

## □ Banque de filtres

### ■ Pyramide gaussienne:

- Analyse locale de la fréquence spatiale des intensités.
- Si on filtre une image avec une gaussienne avec un écart-type petit, tous les fréquences spatiales élevées seront éliminés.
- Si on filtre une image avec une gaussienne avec un écart-type grand, on obtient à la limite la valeur moyenne de l'image.

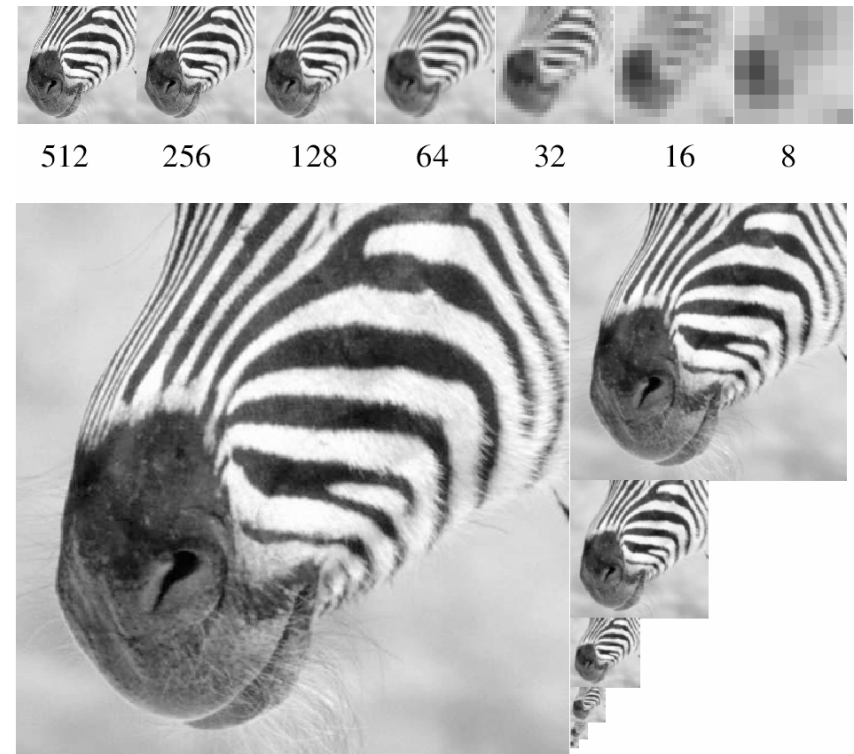


# Modèle d'apparence: texture

## □ Banque de filtres

### ■ Pyramide gaussienne:

- Filtrer l'image avec une gaussienne.
- Échantillonner l'image résultante pour la réduire. Correspond à changer l'écart-type de la gaussienne.
- Filtrer et échantillonner jusqu'à une taille prédéfinie.
- Exemple MATLAB:  
*FiltrageGaussienne.m*





# Modèle d'apparence: texture

---

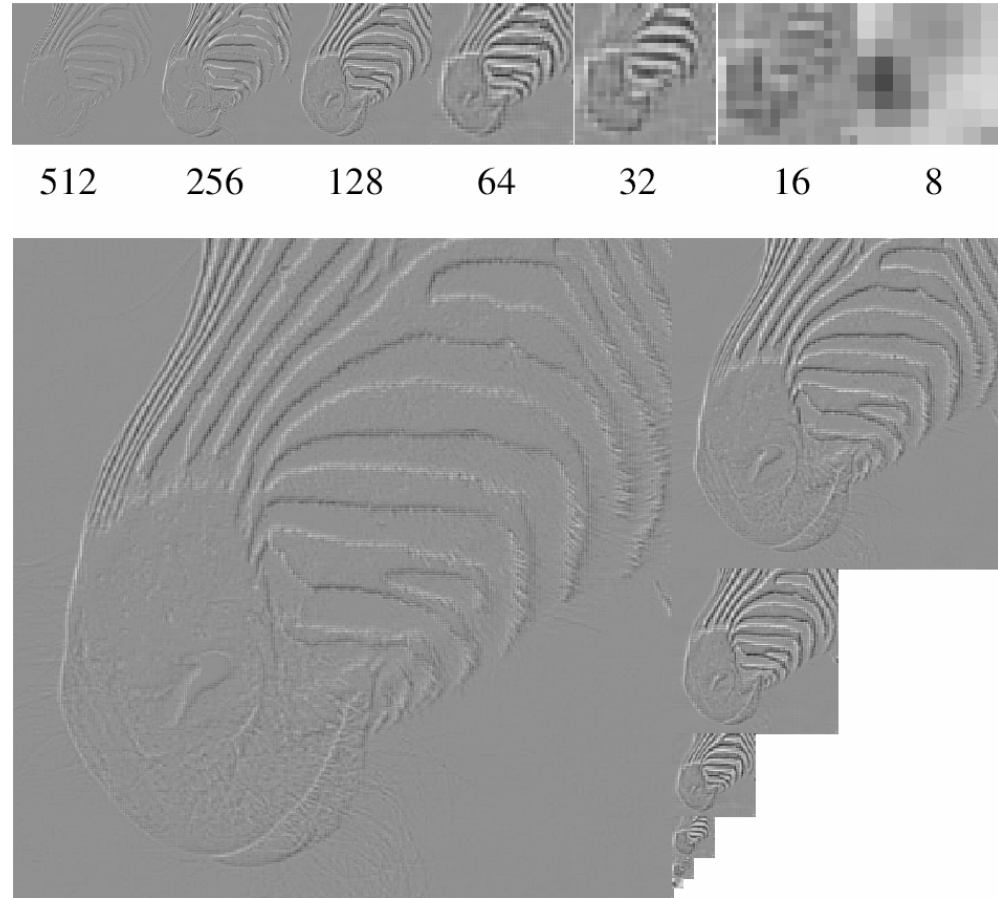
## □ Banque de filtres

### ■ Pyramide laplacienne:

- L'échelle grossière de la pyramide gaussienne est une prédiction d'une échelle plus fine.
- La pyramide laplacienne limite les redondances en enregistrant seulement les erreurs de prédiction.
- Si on agrandit l'échelle grossière (quadruple la grosseur des pixels) pour obtenir l'échelle plus fine, on peut enregistrer seulement l'erreur de reconstruction.

# Modèle d'apparence: texture

- Banque de filtres
  - Pyramide laplacienne:
    - Chaque échelle de la pyramide laplacienne correspond à la réponse d'un filtre passe-bande.



# Modèle d'apparence: texture

---

## □ Banque de filtres

### ■ Filtres de Gabor

- Transformée de Fourier: Produit scalaire entre une sinusoïde (cosinus+sinus) et une fonction.
- Filtres de Gabor: Transformée de Fourier locale. Chaque filtre de Gabor est une sinusoïde multipliée par une gaussienne.
- Les filtres de Gabor sont en paire. Un filtre détecte les composantes symétriques, l'autre détecte les composantes antisymétriques.

# Modèle d'apparence: texture

---

- Banque de filtres
  - Filtres de Gabor

$$G_{\text{symétrique}}(x, y) = \cos(k_x x + k_y y) e^{-\left\{ \frac{x^2 + y^2}{2\sigma^2} \right\}}$$

$$G_{\text{antisymétrique}}(x, y) = \sin(k_x x + k_y y) e^{-\left\{ \frac{x^2 + y^2}{2\sigma^2} \right\}}$$

$(k_x, k_y)$  donne la fréquence spatiale de réponse, et  $\sigma$  est l'échelle (étendu du filtre).

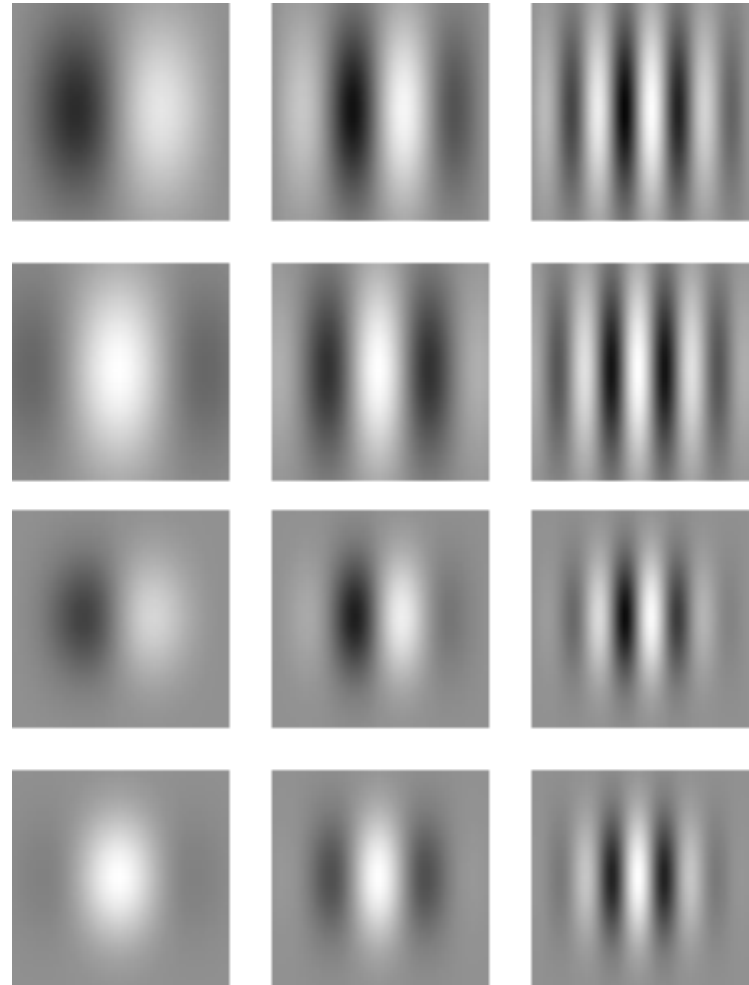
# Modèle d'apparence: texture

---

- Banque de filtres

- Filtres de Gabor

- Exemple MATLAB:  
*FiltreGabor.m*



# Modèle d'apparence: texture

---

- Banque de filtres

- Comparaison:

- Par des statistiques sur les réponses:

- Moyenne;
      - Variance;
      - Écart-type;
      - Covariance;
      - etc.

# Modèle d'apparence: texture

---

## □ Matrice de co-occurrences

- Matrice qui enregistre le nombre fois que deux couleurs (valeurs d'intensité) similaires ont la même position relative dans l'image. Une matrice de co-occurrence  $C(i,j)$  est définie pour la relation spatiale  $(dx, dy)$ :

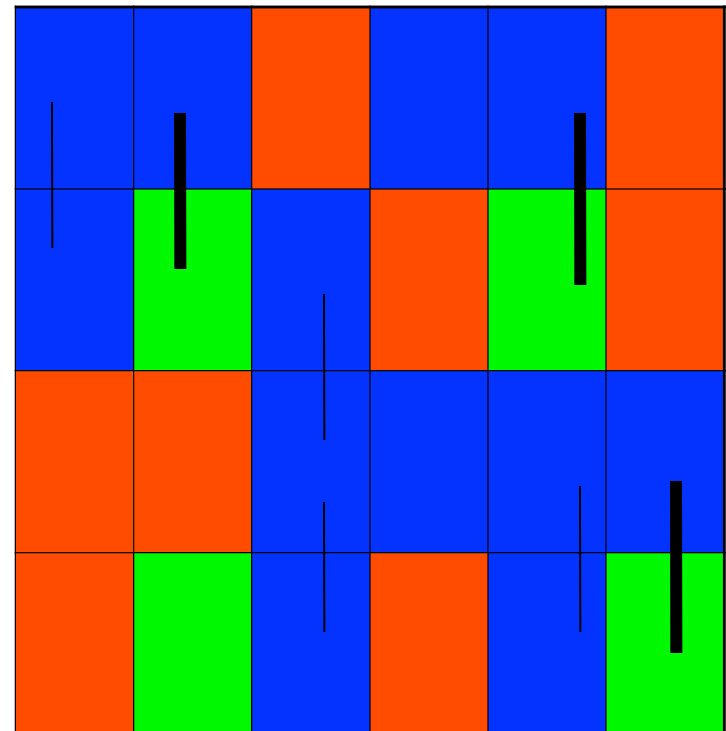
$$C(i, j) = \left| \left\{ (x, y) \in R \mid I(x, y) = i \wedge I(x + dx, y + dy) = j \right\} \right|$$

# Modèle d'apparence: texture

## □ Matrice de co-occurrences

### ■ Exemple ( $dx=0, dy=1$ )

	Orange	Green	Blue
Orange	2	1	3
Green	1	0	1
Blue	3	3	4





# Modèle d'apparence: texture

---

## □ Matrice de co-occurrences

### ■ Comparaison:

- On utilise les mêmes techniques que pour les histogrammes qu'on adapte pour deux dimensions.

- Norme L1

$$D_1(C_i, C_M) = \sum_{j=1}^K \sum_{k=1}^L |C_i[j, k] - C_M[j, k]|$$

- Norme L2

$$D_2(C_i, C_M) = \sqrt{\sum_{j=1}^K \sum_{k=1}^L (C_i[j, k] - C_M[j, k])^2}$$

# Modèle d'apparence: forme

---

## □ Modélisation par moments

- Modélisation par la distribution des points composants l'objet.
- Moment géométrique pour pixel  $x,y$  avec couleur  $f(x,y)$ :

$$m_{pq} = \sum_{x,y \in R} x^p y^q f(x,y)$$

# Modèle d'apparence: forme

---

## □ Modélisation par moments

- En pratique...

- Aire:

$$m_{00} = \sum_{x,y \in R} x^0 y^0 = \sum_{x,y \in R} 1$$

- Centroïde:

$$x_c = \frac{m_{10}}{m_{00}} = \frac{\sum_{x,y \in R} x^1 y^0}{m_{00}} = \frac{\sum_{x,y \in R} x}{m_{00}}$$

$$y_c = \frac{m_{01}}{m_{00}} = \frac{\sum_{x,y \in R} x^0 y^1}{m_{00}} = \frac{\sum_{x,y \in R} y}{m_{00}}$$

# Modèle d'apparence: forme

---

- Pour rendre les moments invariants aux translations et aux rotations -> Moments centraux:

$$\mu_{pq} = \sum_{x,y \in R} (x - x_c)^p (y - y_c)^q f(x, y)$$

- Pour rendre les moments invariants à l'échelle:

$$\eta_{ij} = \frac{\mu_{ij}}{m_{00}^{(1+\frac{i+j}{2})}}$$

# Modèle d'apparence: forme

---

## □ Modélisation par moments

- Descripteurs de formes pouvant être invariants à l'échelle, aux translations et aux rotations.
- Exemple de moments de Hu d'ordre 2 (pas invariant à l'échelle):

$$\phi_1 = \eta_{20} + \eta_{02} = \sum_{x,y \in R} (x - x_c)^2 + \sum_{x,y \in R} (y - y_c)^2$$

$$\phi_2 = (\eta_{20} - \eta_{02})^2 + 4\eta_{11}^2$$

$$\phi_2 = \left( \sum_{x,y \in R} (x - x_c)^2 - \sum_{x,y \in R} (y - y_c)^2 \right)^2 + 4 \left( \sum_{x,y \in R} (x - x_c)(y - y_c) \right)^2$$

- Exemple MATLAB: Moments.m

# Bibliographie

---

- D. Batz et al. A computer vision sytem for monitoring medication intake, in Second Canadian Conference on Computer and Robot Vision (CRV'05)
- L.M. Fuentes, S.A. Velastin, People tracking in surveillance applications, in 2nd IEEE Int. Workshop on PETS, 2001
- H.N. Charif, S.J. McKenna, Tracking the activity of participants in a meeting, Machine Vision and Applications, Vol.17, No. 2, 2006,pp. 83-93
- S.H. Cha, S.N. Srihari, On measuring the distance between histograms, Pattern Recognition, Vol. 35, 2002, pp. 1355-1370
- J. Malik et al., Preattentive texture discrimination with early vision mechanisms, Journal of the Optical Society of America, Vol.7 No. 5 1990, pp.923-932
- D.A. Forsyth, J. Ponce, Computer Vision: A Modern Approach, Prentice Hall, 2002
- L.G. Shapiro, G.C.Stockman, Computer Vision, Prentice-Hall, 2001
- R.M. Haralik et al., Textural Features for Image Classification, IEEE Transactions on Systems, Man, and Cybernetics, Vol. SMC-3, No. 6, 1973, pp.610-621
- M.K.Hu, Visual Pattern Recognition by Moment Invariants, IRE Transactions on Information Theory, 1962, pp.179-187
- J. Flusser, Moment Invariants in Image Analysis, Transactions On Engineering, Computing and Technology, V. 11, 2006, pp. 196-201